

УДК 548.0 537.226.4

КИНЕТИКА ПРОЦЕССА ПЕРЕПОЛЯРИЗАЦИИ КРИСТАЛЛОВ ТГС С ПРИМЕСЬЮ *L*- α -АЛАНИНА

*H. A. Тихомирова, Л. И. Донцова, А. В. Гинзберг,
В. И. Дорогин, Л. А. Шувалов,
Л. Г. Булатова, С. П. Чумакова*

Методом нематических жидкких кристаллов (НЖК) проведены наблюдения динамики доменов и исследованы температурные зависимости времен переключения и пороговых полей процесса переполяризации кристаллов АТГС. Показано, что примесь *L*- α -аланина (20 вес.% в растворе) незначительно (на 1—2 К) расширяет область существования сегнетоэлектрической фазы, в то время как пороговые поля остаются отличными от нуля в более широкой области выше точки Кюри. Выделены две компоненты внутреннего смещающего поля, одна из которых E_α изменяется слабо, другая — E_s , уменьшается при повышении температуры, испытывая инверсию знака при $T_u = -42\text{--}47^\circ\text{C}$. Обсуждается природа компонент E_α и E_s и причина их различной температурной зависимости.

Несмотря на большое число работ, посвященных проблеме внутреннего поля в сегнетоэлектриках [1—13], нельзя считать окончательно решенным вопрос о его природе. Кроме того, внутреннее поле, определяемое экспериментально чаще всего по смещению цетли диэлектрического гистерезиса, не является однозначной характеристикой кристалла, так как зависит от частоты и величины внешнего переполяризующего поля, и поэтому не вполне подходит для проверки выводов теории о влиянии дефектов на различные свойства сегнетоэлектрических кристаллов. В настоящей работе сделана попытка оценить внутреннее поле и исследовать его температурную зависимость по характеристикам процесса переполяризации кристалла.

1. Методика эксперимента

Образцы размером $10 \times 10 \times 1$ мм изготавливались из пирамиды роста (110) кристаллов ТГС, выращенных методом охлаждения в сегнетоэлектрической области температур $37\text{--}32^\circ\text{C}$ из раствора, содержащего 20 вес.% *L*- α -аланина. Кристалл с примесью *L*- α -аланина обозначим АТГС. Для исследования отобраны несколько образцов с существенно отличающимися пороговыми полями начала процесса переполяризации (от 250 до $1500\text{ В}\cdot\text{см}^{-1}$). Следует отметить, однако, что и в пределах одного образца, даже таких сравнительно небольших размеров, значения внутреннего смещающего поля неодинаковы [14]. Исходное состояние всех исследованных образцов при комнатной температуре монодоменное.

В работе методом НЖК [15] проведены прямые наблюдения процесса переполяризации образцов при различных температурах в интервале внешних постоянных переполяризующих полей до $10\text{ кВ}\cdot\text{см}^{-1}$. При этом измерялись следующие величины.

1) $E_{\text{пп}}^{\text{pp}}$ — пороговое поле, равное значению внешнего поля $-E_s$, которое надо приложить к образцу, чтобы начался процесс переполяризации из исходного (ростового) монодоменного состояния (прямой процесс).

2) E_n^{op} — пороговое поле, равное значению, до которого надо снизить приложенное к образцу внешнее поле $-E_0$, чтобы начался процесс «самопроизвольного» переключения — возвращения к исходному (ростовому) монодоменному состоянию из монодоменного состояния, созданного внешним полем $-E_0$ (обратный процесс).

3) E_{\sim}^{\sim} — пороговое поле процесса интенсивного зарождения доменов (на этапе формирования рядов зародышей доменов в кристаллографическом направлении [102]) при приложении синусоидального электрического

поля к образцу, находящемуся в исходном (ростовом) монодоменном состоянии.

4) τ_s^- — полное время переключения при приложении к монодомен-

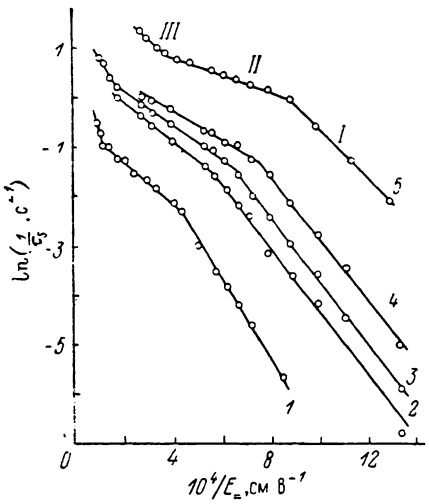


Рис. 1. Зависимости логарифма обратного времени переключения $\ln \frac{1}{\tau_s^-}$ от величины обратной напряженности внешнего постоянного электрического поля $1/-E_0$ для образца АТГС при различных температурах.

$T, ^\circ\text{C}: 1 - 20.0, 2 - 33.5, 3 - 37.5, 4 - 42.5, 5 - 47.5$.

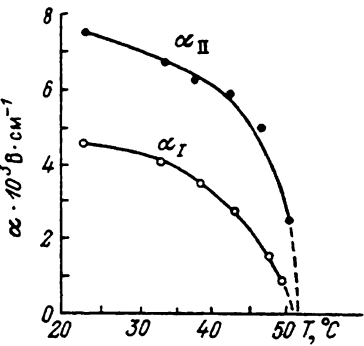


Рис. 2. Температурные зависимости полей активации α_1 и α_{II} процесса переключения образца АТГС в области внешних полей, соответствующих участкам I и II на рис. 1.

ному образцу внешнего постоянного электрического поля $-E_0$ против направления внутреннего смещающего поля.

5) τ_s^0 — полное время переключения образца в отсутствие внешнего поля ($E_0=0$, внешняя цепь разомкнута) в процессе «самопроизвольного» возвращения образца к исходному (ростовому) монодоменному состоянию.

2. Результаты исследования

1) Зависимости обратного времени переключения $1/\tau_s^-$ от напряженности внешнего поля $-E_0$ для кристаллов АТГС (рис. 1) являются экспоненциальными, как и для чистых кристаллов ТГС [16],

$$\frac{1}{\tau_s^-} = \frac{1}{\tau_{s\infty}^-} \exp(-\alpha/E).$$

Однако в отличие от чистых кристаллов ТГС [16] первый линейный участок зависимости $\ln 1/\tau_s^- (1/-E_0)$ для кристаллов АТГС при переключении полем $-E_0$ (в области полей от $-E_0 = E_n^{op}$ до $-E_0 = (2 \div 3) E_n^{op}$) характеризуется большим полем активации α_1 , чем второй (при $-E_0 > (2 \div 3) E_n^{op}$), т. е. $\alpha_1 > \alpha_{II}$.

2) По мере повышения температуры значения $\tau_s^-, \tau_s^0, \alpha$ уменьшаются и в точке Кюри T_c обращаются в нуль (рис. 2 и 3).

3) Из-за неоднородности образцов АТГС их переключение во внешнем поле $-E_0$ происходит последовательно от более «мягких» областей (с низкими значениями порогового поля, т. е. с меньшей концентрацией

L- α -аланина)¹ к более «жестким» областям (с более высокими значениями порогового поля). Процесс «самопроизвольного» возвращения образца к исходному монодоменному состоянию из монодоменного состояния, со-

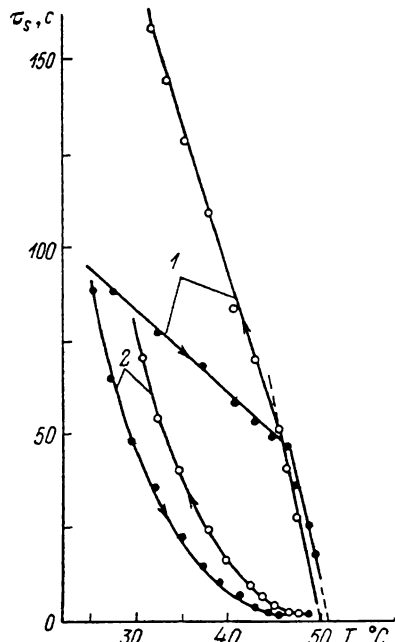


Рис. 3. Температурные зависимости времен переключения τ_a^0 (1) и τ_a^- (2) образца АТГС.

Режим: нагрев от 25 до 120 °C, выдержка 1 час при 120 °C, охлаждение до 25 °C. Переизолирующее поле $-E = 1145 \text{ В/см} = \text{const.}$

зданного внешним полем $-E_a$, происходит в обратном порядке: сначала переключаются «жесткие», а затем более «мягкие» области. В обоих случаях переключение из одного монодоменного состояния в другое осуществляется путем возникновения зародышей доменов, их последующего роста и коалесценции. Выдержка образца во внешнем поле $-E_a > E_a^{\text{пр}}$ или отжиг при $T > T_c$ приводят к уменьшению плотности зародышей доменов, что увеличивает как время переключения τ_a^0 , так и τ_a^- .

4) Пороговые поля $E_a^{\text{пр}}$, $E_a^{\text{обр}}$, E_a^- переключения кристаллов АТГС при повышении температуры уменьшаются, но в T_c не обращаются в нуль (рис. 4 и 5). Уменьшение пороговых полей при приближении к T_c сопровождается увеличением плотности зародышей доменов и скорости бокового движения доменных стенок как при переключении образца внешним полем

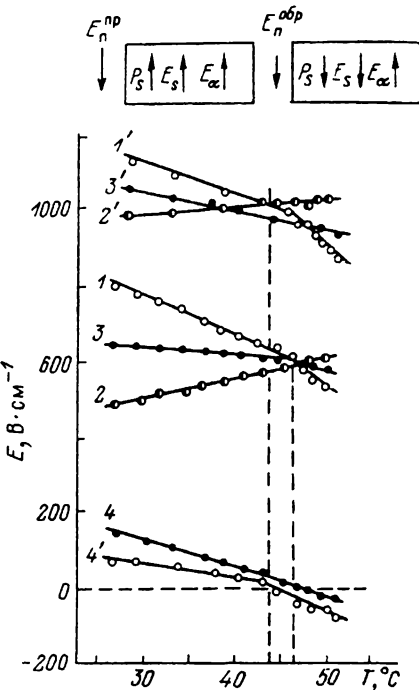


Рис. 4. Температурные зависимости пороговых полей $E_a^{\text{пр}}$ и $E_a^{\text{обр}}$ и компонент внутреннего поля E_a и E_s в «мягкой» (1-4) и «жесткой» (1'-4') областях образца АТГС.

1, 1' — $E_a^{\text{пр}}$; 2, 2' — $E_a^{\text{обр}}$; 3, 3' — E_a ; 4, 4' — E_s

Таблица 1

Сопоставление пороговых полей процесса переполяризации E_a^- в синусоидальном электрическом поле разной частоты с величиной $E_a^{\text{пр}}$ образцов АТГС

№ образца	$E_a^{\text{пр}}, \text{В} \cdot \text{см}^{-1}$	Пороговые поля, E_a^- , $\text{В} \cdot \text{см}^{-1}$		
		$f = 15 \text{ Гц}$	$f = 50 \text{ Гц}$	$f = 500 \text{ Гц}$
1	250	940	1050	1225
2	580	1200	1360	1540
3	900	1750	1920	2625
4	1400	2500	3050	3800

¹ О корреляции между концентрацией *L*- α -аланина в кристалле АТГС и значением внутреннего смещающего поля $E_{\text{см}}$, которое можно сопоставлять с измеряемыми в наших экспериментах значениями пороговых полей $E_a^{\text{пр}}$ и E_a^- , сообщалось в [11, 12] и др.

$-E_{\perp}$, так и в процессе «самопроизвольного» возвращения его в исходное состояние при $E_{\perp}=0$.

О различиях в значениях пороговых полей $E_{\perp}^{\text{пр}}$ и E_{\perp}^{\sim} (на различных частотах) для кристаллов АТГС с различным содержанием L - α -аланина можно судить по данным табл. 1.

5) При повышении температуры значения $E_{\perp}^{\text{пр}}$ уменьшаются, а E_{\perp}^{\sim} возрастают и при некоторой температуре T_s ($T_s=42 \div 47$ °C в зависимости от концентрации L - α -аланина и предыстории образца) становятся равными (рис. 4). При этом изменения пороговых полей $E_{\perp}^{\text{пр}}$ и E_{\perp}^{\sim} с изменением температуры в «мягкой» области образца более значительны, чем в «жесткой» (рис. 4).

6) Время переключения τ_s уменьшается с повышением температуры по

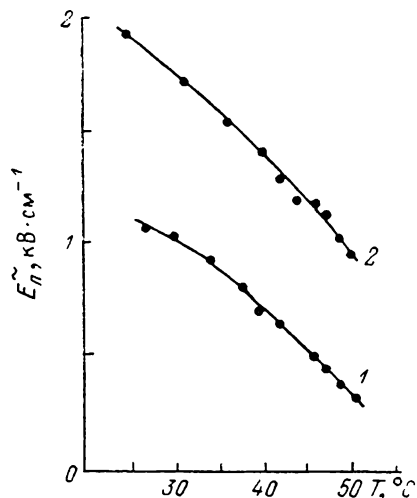


Рис. 5. Температурные зависимости порогового поля E_{\perp}^{\sim} процесса интенсивного зарождения доменов в синусоидальном электрическом поле ($f=50$ Гц) для образцов АТГС (№ 1 и 3 табл. 1).

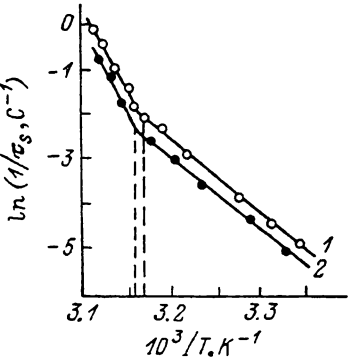


Рис. 6. Зависимости логарифма обратного времени переключения $\ln \frac{1}{\tau_s}$ образца АТГС от обратной температуры $1/T$.

1 — при повышении, 2 — при понижении температуры.

экспоненциальному закону $1/\tau_s = 1/\tau_{s_0} \cdot \exp(-W/kT)$, а τ_s^0 — по линейному $\tau_s^0 = \tau_{s_0}^0 - bT$. На зависимостях $\ln \frac{1}{\tau_s} \left(\frac{1}{T} \right)$ и $\tau_s^0(T)$ в исследованном интервале температур имеются два линейных участка I и II, причем температура $T_{I \rightarrow II}$, при которой происходит переход от одного участка к другому, равна $T_{I \rightarrow II} = (42 \div 47)$ °C (в зависимости от концентрации L - α -аланина и предыстории образца) (рис. 3 и 6, табл. 2).

Таблица 2

Параметры температурных зависимостей характеристик переключения образцов АТГС

Режим исследования	Энергия активации $W, \text{эВ}$		Температура изменения наклона, °C		Температура инверсии знака поля $E_s, \text{Тл}$, °C	Примечание
	I участок	II участок	$\ln \frac{1}{\tau_s} \left(\frac{1}{T} \right)$	$\tau_s^0(T)$		
$25^\circ \rightarrow 120^\circ \rightarrow 25^\circ \text{C}$, 1 час при 120°C , $-E_{\perp} = 1145 \text{ В/см}$ — const	2.1	6.9	46.4	46.4	47.0	Повышение температуры
	2.0	6.9	45.4	45.4	45.4	Понижение температуры
$25^\circ \rightarrow 48.5^\circ \rightarrow$ $\rightarrow 25^\circ \text{C}$, $-E_{\perp} = 1250 \text{ В/см}$ — const	1.3	2.9	44.0	44.0	44.0	Повышение температуры
	1.3	2.9	42.5	42.5	42.5	Понижение температуры

3. Обсуждение результатов

Прямые наблюдения процесса переключения кристаллов АТГС и исследование температурных зависимостей характеристик этого процесса (времени полного переключения τ_s^- , τ_s^0 и полей активации α) показывают, что сегнетоэлектрические свойства кристаллов АТГС исчезают при температурах, близких к T_c чистого кристалла ТГС. Смещение T_c в исследованных кристаллах не превышает 1–2 К, так что выводы о значительном расширении области температур существования сегнетоэлектрической фазы у кристаллов АТГС, которые делаются иногда на основе отличия от нуля значений их пьезо- и пирокоэффициентов в широкой области температур выше T_c , неправомерны.

В то же время при $T=T_c$ значения пороговых полей $E_{\text{пп}}^{\text{пр}}$ и $E_{\text{пп}}^{\text{обр}}$ и $E_{\text{пп}}^{\sim}$ не обращаются в нуль. В интервале температур (25–49) °C пороговое поле $E_{\text{пп}}^{\text{пр}}$ в исследованных кристаллах АТГС уменьшается на (30–50) %, а поле $E_{\text{пп}}^{\text{обр}}$ возрастает на (5–30) %.

Кристаллы АТГС можно рассматривать как кристаллы с поляризованными дефектами. Согласно [17], такие дефекты создают в кристалле эффективное среднее поле, которое не должно зависеть от температуры. Различный характер температурных зависимостей пороговых полей переключения $E_{\text{пп}}^{\text{пр}}$ и $E_{\text{пп}}^{\text{обр}}$ свидетельствует о том, что эффективное внутреннее поле в кристаллах АТГС содержит по крайней мере две компоненты, поведение которых при переключении и при изменении температуры об разца различно. Одна из компонент внутреннего поля (обозначим ее E_s , рис. 4) может быть обусловлена неэквивалентностью полярных поверхностей и условий компенсации поляризационных зарядов кристалла со стороны выхода «+» и «–» и концов вектора P_s [18]. Это поле E_s совпадает по знаку с P_s и изменяет свое направление при поляризации образца. Оно существует в кристаллах ТГС и без примеси L - α -аланина в каждом домене. Вторая компонента внутреннего поля (обозначим ее E_α , рис. 4) обусловлена наличием полярных нереверсируемых внешним полем молекул L - α -аланина [17]. Поле E_α не изменяет своего направления при переключении и является причиной «самопроизвольного» возвращения образца в исходное монодоменное состояние (при любом $E_s < E_\alpha$, в частности при $E_s=0$).

Измерив величины пороговых полей $E_{\text{пп}}^{\text{пр}}$ и $E_{\text{пп}}^{\text{обр}}$, можно определить значения компонент внутреннего поля E_s и E_α : $E_{\text{пп}}^{\text{пр}}=E_\alpha+E_s$, $E_{\text{пп}}^{\text{обр}}=E_\alpha-E_s$, поэтому $E_\alpha=\frac{E_{\text{пп}}^{\text{пр}}+E_{\text{пп}}^{\text{обр}}}{2}$, $E_s=\frac{E_{\text{пп}}^{\text{пр}}-E_{\text{пп}}^{\text{обр}}}{2}$. На рис. 4 представлены температурные зависимости найденных таким образом полей E_s и E_α . Как видно, компонента E_α составляет значительную долю внутреннего поля ($E_\alpha \gg E_s$) и слабо зависит от температуры: в исследованном интервале температур 20–50 °C она уменьшается всего на 10–20 %. Относительный вклад поля E_s в значение внутреннего поля уменьшается при увеличении «жесткости» образца (увеличении концентрации L - α -аланина). С повышением температуры поле E_s уменьшается до нуля и при некоторой температуре $T=T_c$ меняет знак. Интересно, что температура инверсии знака поля E_s , $T_c=42 \div 47$ °C (табл. 2) совпадает с температурой изломов $T_{I,II}$ на температурных зависимостях характеристик переключения кристаллов АТГС в постоянном переполяризующем поле $\ln \frac{1}{\tau_s} \left(\frac{1}{T} \right)$ и $\tau_s^0(T)$.

Инверсия знака поля E_s при $T=T_c$ может быть обусловлена изменением структуры поверхностных уровней за счет, например, изменения знака смещений ионов в приповерхностной области при некоторой температуре T_c , которое, как показано в [19], может иметь место в ионных кристаллах при повышении их температуры. К сожалению, расчет значения T_c для такого сложного ионного кристалла, как ТГС, в настоящее время отсутствует. Следует отметить, что ранее в кристалле ТГС с примесями внедрения была обнаружена инверсия знака унипольярности при увеличении напряженности внешнего постоянного переполяризующего

поля [20]. Аналогичное явление, проявляющееся в аномальной зависимости коэрцитивного поля от температуры, обнаружено в примесных кристаллах КДР [21].

Л и т е р а т у р а

- [1] Лайнс М., Гласс А. Сегнетоэлектрики и родственные им материалы. М.: Мир, 1981. 736 с.
- [2] Галстян Г. Т., Филимонов А. А. Изв. АН АрмССР, Физика, 1978, т. 13, № 4, с. 305—308.
- [3] Jaskiewicz A., Mroz J. Abstracts 4th European Meeting on Ferroelectricity, 3—7 September, Jugoslavia, 1979. 290 р.
- [4] Гаврилова Н. Д., Дербенева Т. А., Колдабская М. Ф., Новик В. К., Рез И. С., Сорокина Е. А., Цейлин П. А. Кристаллография, 1981, т. 26, № 2, с. 413—414.
- [5] Гаврилова Н. Д., Новик В. К., Сорокина Е. А., Хрусталева Л. Б. ФТТ, 1981, т. 23, № 6, с. 1775—1778.
- [6] Галстян Г. Т., Рез И. С., Рейзэр М. Ю. ФТТ, 1982, т. 24, № 7, с. 2186—2190.
- [7] Варикаш В. М. Тезисы X Всесоюзной конф. по сегнетоэлектричеству и применению сегнетоэлектриков в народном хозяйстве. Минск, 1982, ч. 2, с. 7.
- [8] Хасиневич Н. П., Варикаш В. М., Чобот Г. М., Родин С. В. Кристаллография, 1984, т. 29, № 5, с. 1030—1031.
- [9] Sokoloff J. B. Phys. Rev. B: Condens. Matter, 1985, vol. 31, N 4, p. 2270—2273.
- [10] Сидоркин А. С., Косцов А. М., Зальцберг В. С. ФТТ, 1985, т. 27, № 7, с. 2200—2203.
- [11] Brezina B., Havrankova M. Cryst. Res. and Technol., 1985, vol. 2, N 6, p. 787—794.
- [12] Koralewski M., Stankowski J., Jasinski T. Abstract VI International conf. Kobe, Japan, 1985. 140 р.
- [13] Занкевич В. А. ФТТ, 1986, т. 28, № 2, с. 603—605.
- [14] Тихомирова Н. А., Гинзберг А. В., Донцова Л. И., Чумакова С. П., Шувалов Л. А. ФТТ, 1986, т. 28, № 10, с. 3055—3058.
- [15] Тихомирова Н. А., Донцова Л. И., Пикин С. А., Шувалов Л. А. Письма в ЖЭТФ, 1979, т. 29, № 1, с. 37—40.
- [16] Донцова Л. И., Тихомирова Н. А., Булатова Л. Г., Попова Э. С., Шильников А. В., Баранов А. И., Чеботарев А. А., Шувалов Л. А. Кристаллография, 1982, т. 27, № 2, с. 305—312.
- [17] Леванюк А. П., Сигов А. С. Изв. АН СССР, сер. физ., 1985, т. 49, № 2, с. 219—226.
- [18] Тихомирова Н. А., Донцова Л. И., Гинзберг А. В., Чеботарев А. А., Шувалов Л. А. ФТТ, 1986, т. 28, № 11, с. 3319—3328.
- [19] Зильберварг В. Е., Труфанов Н. А. ФТТ, 1985, т. 27, № 7, с. 2069—2076.
- [20] Булатова Л. Г., Донцова Л. И., Афонская И. А., Корина Р. В., Тихомирова Н. А. Изв. АН БССР, сер. физ-мат. наук, 1983, № 1, с. 82—86.
- [21] Sekimoto K., Yoshimitsu K., Matsubara T. J. Phys. Soc. Jap. 1982, vol. 51, N 10, p. 3236—3239.

Волгоградский инженерно-строительный институт
Волгоград

Поступило в Редакцию
8 сентября 1987 г.